

ΑΣΤΡΟΝΟΜΙΑ.—Φωτομετρικά ἔχαγόμενα διὰ τὸν Ἀστρονομικὸν Σταθμὸν
Κρυονερίου Κορινθίας, ὑπὸ Πέτρου Ροβίθη καὶ Ἐλένης Ροβίθη - Λι-
βανίου *. Ἀνεκοινώθη ὑπὸ τοῦ Ἀκαδημαϊκοῦ κ. Ἰωάννου Ξανθάκη.

1. ΕΙΣΑΓΩΓΗ

Εἰς μίαν προηγούμενην ἐργασίαν τοῦ ἐνὸς ἐξ ἡμῶν (Π. Ροβίθης 1978) ἐδόθησαν προκαταρκτικὰ ἀποτελέσματα σχετικὰ μὲ τὴν ἀτμοσφαιρικὴν ἀπορρόφησιν εἰς τοὺς δύο Σταθμοὺς (Πεντέλης καὶ Κρυονερίου) τοῦ Ἐθνικοῦ Ἀστερο-
σκοπείου Ἀθηνῶν. Σκοπὸς τῆς παρούσης μελέτης εἶναι πρῶτον, νὰ δώσῃ περισ-
σότερα καὶ ὅσον τὸ δυνατὸν πληρέστερα ἀποτελέσματα διὰ τὴν ἀτμοσφαιρικὴν
ἀπορρόφησιν εἰς τὸν Ἀστρονομικὸν Σταθμὸν Κρυονερίου Κορινθίας καὶ δεύτερον,
νὰ δώσῃ φωτομετρικὰ στοιχεῖα διὰ τὸ τοπικὸν διπτικὸν σύστημα (ἀτμοσφαιρικὰ
συνθῆκαι τῆς περιοχῆς τοῦ Σταθμοῦ, χρησιμοποιηθέντα ὅργανα).

2. ΠΑΡΑΤΗΡΗΣΕΙΣ

“Ολαι αἱ παρατηρήσεις ἔγιναν διὰ τοῦ φωτομέτρου νεφελωμάτων καὶ ἀστέρων
τοῦ E. A. A. (Coudis and Meaburn 1973) προσηγομοσμένου εἰς τὸ κατοπτρικὸν
τηλεσκόπιον τῶν 1.20 μέτρων τοῦ A. S. K. (Contopoulos and Banos 1976). Τὰ
χρησιμοποιηθέντα φίλτρα ἦσαν τὰ μὲν U, V, R, τῆς Schott, τὸ δὲ B τῆς Kodak
(UJ1 $\lambda_U = 3850 \text{ Å}$, VJ1 $\lambda_V = 4950 \text{ Å}$, RJ1 $\lambda_R = 6100 \text{ Å}$ καὶ B $\lambda_B = 4300 \text{ Å}$).
Εἰς ὅλας τὰς περιπτώσεις ἐφημόρσθη ψῦξις τῶν φωτοπολλαπλασιαστῶν εἰς -82°C
διὰ ξηροῦ πάγου.

Οἱ παρατηρηθέντες ἀστέρες καὶ τὰ φωτομετρικὰ στοιχεῖα αὐτῶν ὡς ἐλί-
φθησαν ἐκ τοῦ καταλόγου τοῦ Naval Observatory (1970), ἐκ τοῦ καταλόγου
τοῦ Iriarte et al. (1965) καὶ ἐκ τοῦ καταλόγου Bonner Durchmusterung
(B. D.) δίδονται εἰς τὸν πίνακα I.

Προκειμένου νὰ ἐπιτευχθῇ ἡ μετατροπὴ τῶν εὑρεθεισῶν τιμῶν τῶν δει-
κτῶν χρώματος ἐκ τοῦ τοπικοῦ συστήματος εἰς τὸ διεθνὲς σύστημα (Johnson 1952
καὶ 1953; Johnson and Morgan 1953) ὑπελογίσθησαν κατάλληλοι συντελεσταὶ
ἀναγωγῆς (calibration). Εἰς τὰ σχήματα 1 καὶ 2 δίδονται αἱ ἀνηγμέναι τιμαὶ
τῶν δεικτῶν χρώματος (B - V)_{Koq} καὶ (V - R)_{Koq} ὡς πρὸς τοὺς ἀντιστοίχους δεί-
κτας χρώματος (B - V)_J καὶ (V - R)_J εἰς τὸ διεθνὲς σύστημα Johnson.

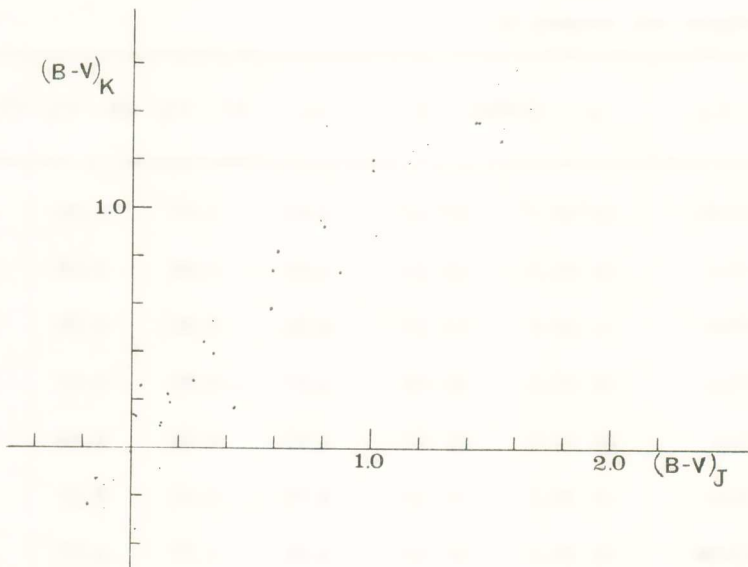
* PETER ROVITHIS - HELEN ROVITHIS - LIVANIOU, Photometric results for the
Kryonerion Astronomical Station.

Π Ι Ν Α Ε Ι

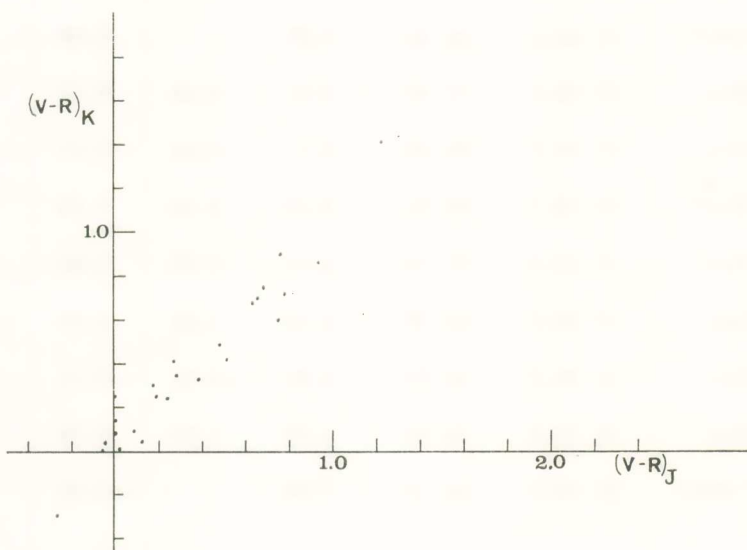
² Α σ τ ḷ ρ	α	(1960)	δ	m _V	(U - V) _J	(B - V) _J	(V - R) _J
α Lyn		09 ⁰ 18.6 ^λ	34° 34'	3.14	3.48	1.55	1.21
λ Leo	09 29.4	23 09	4.31	3.43	1.54	1.19	
37 LMi	10 36.5	32 11	4.70	1.37	0.81	0.66	
54 Leo	10 53.5	24 58	4.32	0.03	0.02	0.08	
60 Leo	11 00.2	20 24	4.41	0.08	0.04	0.08	
72 Leo	11 13.1	23 18	4.60	3.51	1.66	1.49	
55 UMa	11 17.0	38 24	4.79	0.15	0.12	0.14	
5 CVn	12 22.2	51 47	4.80	1.50	0.87	0.68	
ψ Boo	15 02.7	27 06	4.55	2.57	1.23	0.93	
45 Boo	15 05.5	25 01	4.93	0.41	0.43	0.38	
μ₂ Boo*	15 23.0	37 31	6.50		0.59		
ι Dra	15 24.0	59 06	3.31	2.39	1.16	0.78	
β CrBo	15 26.2	29 15	3.66	0.40	0.30	0.19	
37 Lib	15 32.0	-09 56	4.60	1.88	1.02	0.75	
α Ser	15 42.3	06 33	2.65	2.41	1.17	0.81	
λ Ser	15 44 9	07 29	4.44	0.70	0.61	0.51	
ζ Ser	15 46.9	18 16	4.11	3.55	1.60	1.30	
δ CrBo	15 47.9	26 12	4.62	1.17	0.80	0.63	
ε Ser	15 48.8	04 36	3.70	0.25	0.16	0.08	
ρ Ser	15 49.5	21 06	4.78	3.40	1.52	1.22	

(Συνέχεια τοῦ πίνακος I)

[*] A σ τ ḥ ρ	α	(1960)	δ	m_V	$(U - V)_J$	$(B - V)_J$	$(V - R)_J$
α CrBo	15°49.7 ^λ		35°47'	4.82	1.87	1.00	0.76
χ Her	15 51.3		42 34	4.63	0.58	0.58	0.48
BS 5960	15 56.8		54 52	4.95	0.30	0.26	0.24
φ Her	16 07.5		45 02	4.27	-0.35	-0.07	0.00
σ Ser	16 20.0		01 07	4.82	0.36	0.34	0.28
γ Her	16 20.2		19 15	3.76	0.47	0.27	0.27
ξ CrBo	16 20.5		30 59	4.85	1.77	0.97	0.73
λ Oph	16 28.9		02 04	3.83	0.03	0.01	-0.00
ζ Her	16 39.8		31 40	2.81	0.86	0.66	0.54
ε Her*	16 58.8		30 59	3.92	-0.12	-0.01	-0.01
59 Her*	17 00.1		33 36	5.25		0.02	
60 Her	17 03.5		12 48	4.91	0.18	0.12	0.12
ζ Dra	17 08.7		65 46	3.17	-0.54	-0.11	-0.05
π Her*	17 13.7		36 51	3.16	3.10	1.44	0.96
ϱ Her	17 22.3		37 10	4.17	-0.05	0.00	0.02
β Dra	17 29.5		52 20	2.78	1.63	1.00	0.68
ι Her	17 38.3		46 02	3.80	-0.88	-0.18	-0.10
113 Her	18 53.0		22 35	4.59	1.28	0.79	0.65
BD+26° 3827*	20 05.9		26 19	7.59		-0.88	



Σχ. 1. Οι δείκται χρώματος $(B - V)$ είς τὸ διεθνὲς σύστημα Johnson καὶ αἱ ἀντίστοιχοι τιμαὶ αὐτῶν ὅπως ὑπελογίσθησαν εἰς τὸν Ἀστρονομικὸν Σταθμὸν Κρυονερίου.



Σχ. 2. Οι δείκται χρώματος $(V - R)$ είς τὸ διεθνὲς σύστημα Johnson καὶ αἱ ἀντίστοιχοι τιμαὶ αὐτῶν ὅπως ὑπελογίσθησαν εἰς τὸν Ἀστρονομικὸν Σταθμὸν Κρυονερίου.

3. ΣΥΝΤΕΛΕΣΤΑΙ ΑΤΜΟΣΦΑΙΡΙΚΗΣ ΑΠΟΡΡΟΦΗΣΕΩΣ

Οι συντελεσταὶ τῆς ἀτμοσφαιρικῆς ἀπορροφήσεως ἔξαρτῶνται, ως γνωστόν, ἐκ τοῦ μήκους τοῦ κύματος τῆς παρατηρήσεως καὶ λαμβάνουν μεγαλυτέρας τιμὰς πρὸς τὰ μικρότερα μήκη. Ἐπὶ πλέον μεταβάλλονται ἀπὸ νυκτὸς εἰς νύκτα. Διὰ τὴν εὔρεσιν τῶν συντελεστῶν k_B , k_V (Hardie, 1962) παρετηρήθησαν οἱ σημειούμενοι δι’ ἀστερίσκου ἀστέρες τοῦ πίνακος I, οἵ δοιοὶ ἐπελέγησαν οὕτως ὥστε ἀφ’ ἐνὸς μὲν οἱ φασματικοὶ των τύποι νὰ διαφέρουν σημαντικῶς, ἀφ’ ἐτέρου δὲ τουλάχιστον εἶς ἔξ αὐτῶν νὰ διέρχεται ἐγγὺς τοῦ Ζενίθ. Ἐνδεικτικὰ τιμὰὶ τῶν k_B , k_V δίδονται εἰς τὸν πίνακα II.

Π Ι Ν Α Ξ ΙΙ

”Ανοιξις		Θέρος			
	k_B		k_V		
12/5/77	0.430	0.316	10/7/76	0.529	0.378
13/5/77	0.421	0.303	19/7/76	0.552	0.204
18/5/77	0.242	0.207	21/7/76	0.602	0.488
19/5/77	0.457	0.432	22/7/76	0.587	0.386
5/4/78	0.213	0.141	23/7/76	0.501	0.447
11/4/78	0.228	0.163	26/7/76	0.336	0.303
12/4/78	0.376	0.292	13/7/77	0.391	0.323
15/4/78	0.253	0.171	14/7/77	0.383	0.314
16/4/78	0.354	0.264			
17/4/78	0.224	0.168			

Ως προκύπτει ἐκ τοῦ πίνακος τούτου αἱ ἀκρόταται τιμαὶ τῶν k_B , k_V εἴναι μεγαλύτεραι κατὰ τὸ θέρος. Παρὰ τὴν παρατηρουμένην δὲ μεγάλην διασπορὰν τῶν τιμῶν τῶν k_B , k_V ἀπὸ νυκτὸς εἰς νύκτα, αἱ τιμαὶ των δὲν μεταβάλλονται σημαντικὰ κατὰ τὴν διάρκειαν τῆς αὐτῆς νυκτός.

Δι’ ἔφαρμογῆς τοῦ t-test (Martin 1971) ἐπὶ τῶν τιμῶν τῶν συντελεστῶν k_B , k_V προέκυψεν ὅτι αἱ μέσαι τιμαὶ αὐτῶν κατὰ τὴν ἄνοιξιν καὶ τὸ θέρος διαφέρουν σημαντικὰ εἰς τὸ ἐπίπεδον σημαντικότητος 0.05 (95%). Ἡ στατιστικὴ ΠΑΑ 1979

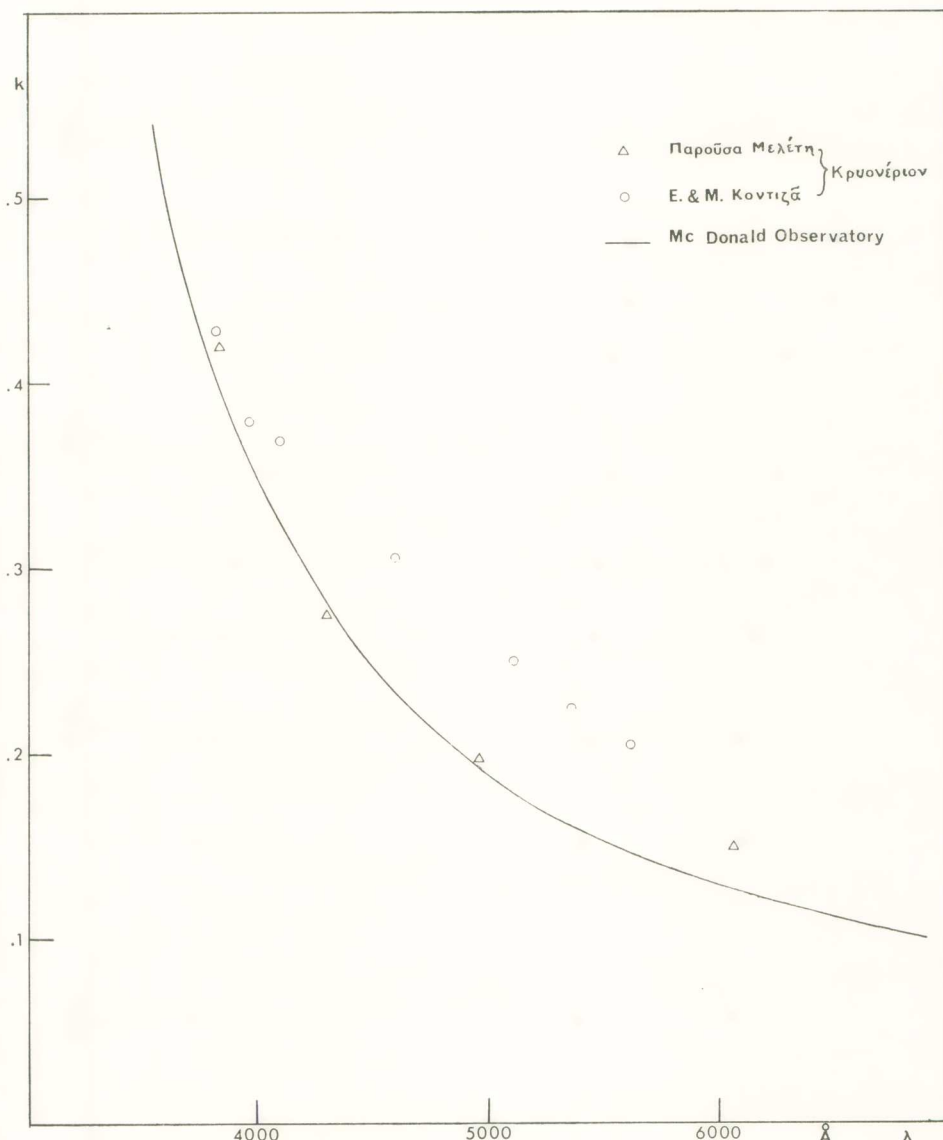
μελέτη ἐγένετο ἐπὶ τῇ ὑποθέσει ὅτι αἱ τιμαὶ τοῦ πίνακος II προῆλθον ἐκ κανονικῶν πληθυσμῶν. Ἐκ δὲ τοῦ ἐλέγχου δμοσκεδαστικότητος (F-test), προέκυψεν ὅτι αἱ διασποραὶ τῶν $k_{B,A}$ καὶ $k_{B,\Theta}$ — διὰ τὴν ἄνοιξιν καὶ τὸ θέρος ἀντιστοίχως — ὡς καὶ τῶν $k_{V,A}$ καὶ $k_{V,\Theta}$ εἶναι ἵσαι εἰς τὸ προαναφερόντεν ἐπίπεδον σημαντικότητος (Κάκουλλος 1972).

Κατὰ τὸν Ἀπριλίον τοῦ 1978 (4 - 18) οἱ 5 ἀστέρες παρετηρήθησαν καὶ εἰς τὰ τέσσαρα χρώματα (U, B, V, R) πολλὰς φορὰς καὶ μὲν ἔξαιρετικὰς συνθήκας. Εἰς τὸ σχῆμα 3 δίδονται αἱ μέσαι τιμαὶ τῶν συντελεστῶν ἀπορροφήσεως συναρτήσει τοῦ μήκους κύματος. Δίδονται ἐπίσης — πρὸς σύγκρισιν — αἱ ἀντίστοιχοι τιμαὶ διὰ τὰ Ἀστεροσκοπεῖα Mt. Wilson (Abbott 1929) καὶ McDonald (Hiltner 1956). Ως φαίνεται ἐκ τοῦ σχήματος τούτου αἱ τιμαὶ τῶν συντελεστῶν ἀπορροφήσεως διὰ τὸν Ἀστρονομικὸν Σταθμὸν Κρυονερίου εἶναι ὀλίγον μεγαλύτεραι ἀπὸ τὰς ἀντίστοίχους τιμὰς διὰ τὰ Ἀστεροσκοπεῖα Mt. Wilson καὶ McDonald. Παρομοίᾳ μεταβολὴ ἔχει δοθῆ διὰ τὸν Ἀστρονομικὸν Σταθμὸν Κρυονερίου Κορινθίας ἀπὸ τὸν E. καὶ M. Κοντιζᾶ (1978) διὰ τὴν 3ην Ἀπριλίου, τὴν 10ην Ἰουνίου καὶ τὴν 2αν Αὐγούστου 1976. (Εἰς τὸ σχῆμα 3 δίδεται ἡ μεταβολὴ τῆς 3 - 4 Ἀπριλίου).

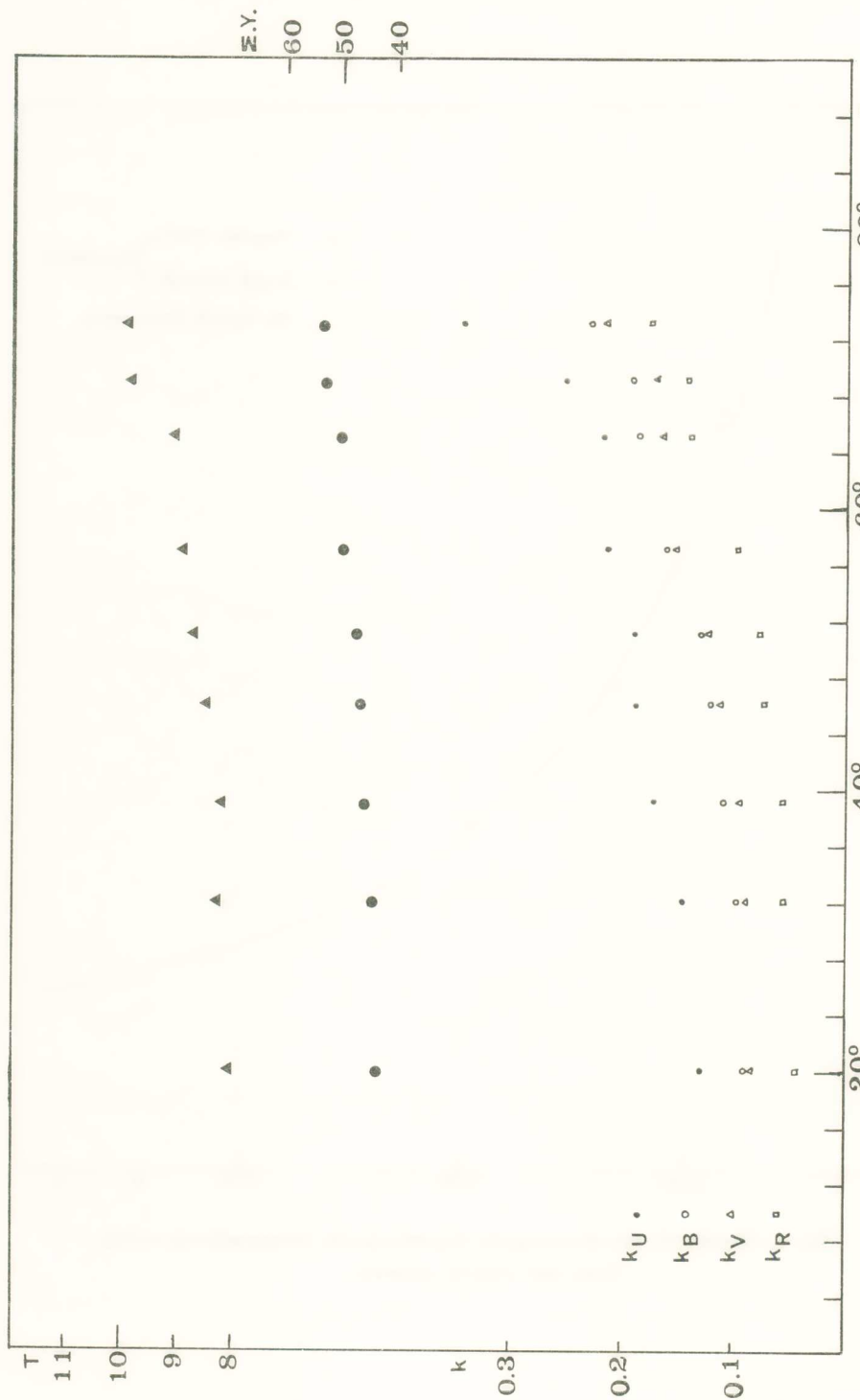
Ἐκ τῶν ἀστέρων τοῦ πίνακος I ὁ μ_2 Βοώτου (μ_2 Boo) παρετηρήθη κατὰ τὴν νύκτα τῆς 15ης πρὸς 16ην Ἀπριλίου 1978 ἀπὸ ζενιθίαν ἀπόστασιν 73^0 τοῦ ἀνατολικοῦ ἡμισφαιρίου ἔως 20^0 τοῦ δυτικοῦ ἡμισφαιρίου. Εἰς τὸ σχῆμα 4 δίδονται οἱ εὑρεθέντες συντελεσταὶ διὰ τὴν ἀτμοσφαιρικὴν ἀπορροφήσιν k_U, k_B, k_V, k_R συναρτήσει τῆς ζενιθίας ἀποστάσεως, καθὼς καὶ αἱ θερμοκρασίαι τοῦ ἀτμοσφαιρικοῦ ἀέρος καὶ αἱ τιμαὶ τῆς σχετικῆς ὑγρασίας διὰ τὴν νύκτα τῆς παρατηρήσεως, ὡς αὗται προέκυψαν ἐκ τοῦ θερμοϋγρογράφου τοῦ Σταθμοῦ.

4. ΔΕΙΚΤΗΣ ΧΡΩΜΑΤΟΣ (B - V)

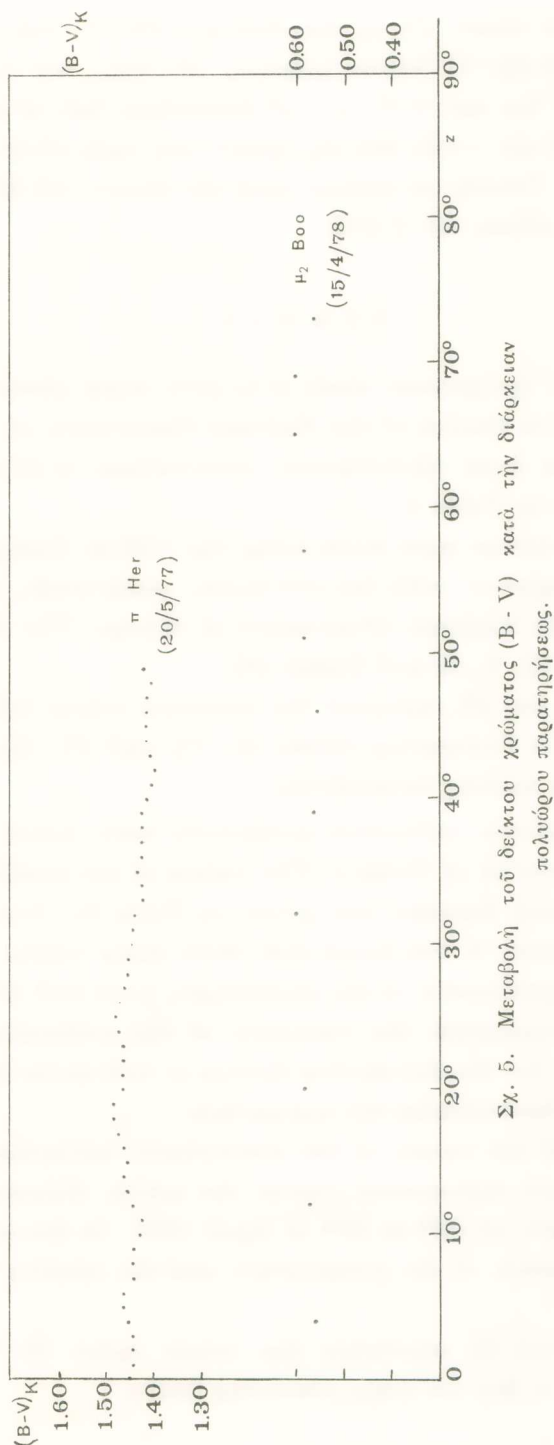
Κατὰ τὴν παρατήρησιν τοῦ μ_2 Βοώτου τῆς 15ης πρὸς 16ην Ἀπριλίου 1978 ἴδιαίτερον ἐνδιαφέρον ἐδόθη εἰς τὴν μεταβολὴν τοῦ βασικοῦ δείκτου χρώματος (B - V) κατὰ τὴν διάρκειαν πολυώρου παρατηρήσεως. Τὸ σχῆμα 5 δίδει τὴν μεταβολὴν αὐτήν. Εἰς τὸ αὐτὸν σχῆμα δίδεται καὶ ἡ μεταβολὴ τοῦ $(B - V)_{Koq}$ τοῦ ἀστέρος π Ήρακλέους (π Her) κατὰ τὴν διάρκειαν τῆς νυκτὸς ἀπὸ 20ῆς πρὸς 21ην Μαΐου 1977 (Ροβίθης 1978) πρὸς σύγκρισιν. Ἐκ τοῦ σχήματος τούτου προκύπτει ὅτι τὸ $(B - V)_{Koq}$ παρουσιάζει ἀξιοσημείωτον σταθερότητα ἐπὶ πολλὰς ὥρας. Τὸ συμπέρασμα τοῦτο, ἔχον ἴδιαίτεραν σημασίαν διὰ φωτομετρικὰς παρατηρήσεις γίνεται ἀκόμη σπουδαιότερον καθ' ὅσον οἱ ἀστέρες μ_2 Boo καὶ π Her εἶναι δια-



Σχ. 3. Μεταβολή τῶν συντελεστῶν ἀτμοσφαιρικῆς ἀπορροφήσεως συναρτήσει τοῦ μήκους κύματος.



Σχ. 4. Μεταβολή τῶν συντελεστῶν ἀτμοσφαιρικῆς ἀπορροφήσεως συναρτήσεως τῆς ζενθίας ἀποστάσεως. Δίδονται ἐπίσης αἱ ἀντίστοιχοι μεταβολαι σχετικῆς υγρασίας (κύκλου) καὶ θερμοχρασίας (τρόγωνα).



Ση. 5. Μεταβολή τοῦ δεκάτου χρόνιματος $(B - V)$ κατά τὴν διάρκειαν πολυωδού παρατηρήσεως.

φόρων φασματικῶν τύπων. (‘Ο μ₂ Boo εἶναι φ.τ. F0 IV, ἐνῶ ὁ π Her χαρακτηρίζεται σὰν K3 II). Οἱ δεῖκται χρώματος (B - V)_{Koø} διὰ τοὺς μ₂ Boo καὶ π Her εὑρέθησαν ՚σοι πρὸς 0.57 καὶ 1.45 ἀντιστοίχως· δηλ. αἱ τιμαὶ τῶν διαφέρουν κατὰ + 0.02 καὶ - 0.01 ἀπὸ τὰς πραγματικὰς τιμὰς αὐτῶν, ὅπως δίδονται εἰς τὸν πίνακα I. Γενικῶς τὸ σφάλμα κατὰ τὴν εὔρεσιν τοῦ δείκτου χρώματος (B - V) εἶναι τῆς τάξεως τοῦ ± 0.02.

S U M M A R Y

The aim of the present study is to give some photometric results for the Kryonerion Station of the National Observatory of Athens. These results came out from photoelectric observations of 39 standard stars which are given in Table I.

The observations were made using the 1.20 m Cassegrain reflector of the Station together with the two beam, multi-mode, nebular-stellar photometer of the National Observatory of Athens. The filters used are made by Schott (U, V, R) and Kodak (B).

Graphs (1) and (2) represent the corrected colour indices (B - V)_{Koø} and (V - R)_{Koø} for Kryonerion versus (B - V)_J and (V - R)_J of the International Johnson system, respectively.

The atmospheric extinction coefficients were found observing the stars with an asterisk of Table I. The values of the coefficients k_B, k_V for the Spring and Summer are given in Table II. From a statistical study (F-test, t-test) it was found that their mean values for these two seasons differ significantly in the significance level 0.05 (95%).

Graph (3) represents the variation of the extinction coefficients with wavelength for the Kryonerion Station as well as for the Mt. Wilson and McDonald Observatories for comparison.

In graph (4) the values of the atmospheric extinction coefficients k_U, k_B, k_V, k_R are represented versus the zenith distance of the star μ₂ Boo at the night of 15th to 16th of April 1978. In the same graph the corresponding values of the temperature and the relative humidity are given.

Finally, graph (5) represents the colour index (B - V)_{Koø} for the stars μ₂ Boo and π Her for many observing hours.

ΒΙΒΛΙΟΓΡΑΦΙΑ

- C. G. Abbott, *The Sun*, 297, Appleton and Co., New York, 1929.
- G. Contopoulos - C. Banos, *Sky and Telescope*, **51**, 154, 1976.
- C. Goudis - J. Meaburn, *Astrophys. and Space Sci.*, **20**, 149, 1973.
- H. L. Johnson, *Ap. J.* **116**, 272, 1952.
- H. L. Johnson, *Ap. J.* **117**, 330 and 350, 1953.
- H. L. Johnson - W. W. Morgan, *Ap. J.* **117**, 313, 1953.
- R. Hardie, *Stars and Stellar Systems* Vo. III, *Astronomical Techniques*, ed. W. A. Hiltner, 178, University of Chicago Press, 1962.
- W. A. Hiltner, *Ap. J. Suppl.* **2**, 389, 1956.
- Iriarte et al., *Sky and Telescope*, **30**, 21, 1965.
- Θ. Κάκουσλλος, *Στατιστική Θεωρία και Εφαρμογές*, 106, 'Αθηναί, 1972.
- Ε. Κοντιζάς - M. Κοντιζᾶ, *Πρακτικά της Ακαδημίας Αθηνῶν*, **53**, 78, 1978.
- B. R. Martin, *Statistics for Physicists*, 61, Academic Press, London and New York, 1971.
- Publications of the U.S. Naval Observatory, Vol. XXI, Washington, 1970.
- Π. Ροβίθης, *Πρακτικά της Ακαδημίας Αθηνῶν*, **53**, 72, 1978.